

# КВАЗИБАЛЛИСТИЧЕСКИЙ ЭЛЕКТРОННЫЙ ТРАНСПОРТ В КВАНТОВЫХ ПРОВОЛОКАХ

*В. А. Маргулис\*, А. В. Шорохов*

*Мордовский государственный университет им. Н. П. Огарева  
430000, Саранск, Россия*

Поступила в редакцию 13 апреля 2005 г.

Исследован электронный транспорт в трехмерной квантовой проволоке при учете рассеяния на одиночной точечной примеси. Показано, что график зависимости магнитокондуктанса от химического потенциала  $\mu$  содержит узкие пики в случае положительной длины рассеяния, а в случае отрицательной длины рассеяния — близко лежащие пики и провал. Пики лежат в окрестности порогов кондуктанса. Зависимость термоэдс от  $\mu$  содержит узкие провалы в случае положительной длины рассеяния, а при отрицательной длине рассеяния — близко лежащие пики и провал.

PACS: 73.23.Ad, 73.63.Rt

## 1. ВВЕДЕНИЕ

Начиная с открытия эффекта квантования кондуктанса в квантовых проволоках, существенный интерес вызывает проблема рассеяния на примесях в этих наноструктурах [1–14]. В ряде работ [1–3, 12, 13] показано, что даже одиночная примесь может приводить к расстройке квантования кондуктанса в квантовых проволоках и сужениях (квазибаллистический транспортный режим). Такая расстройка наиболее существенна в окрестностях ступеней квантования кондуктанса. Рассматривалось электронное рассеяние в квантовых каналах, проволоках и сужениях как на протяженных [15, 16], так и на точечных примесях [1–14, 17–20]. Исследовались резонансные пики типа Брейта–Вигнера и Фано в кондуктансе ряда наноструктур [15, 16].

Приложенное к наноструктуре магнитное поле приводит к гибридизации электронного энергетического спектра и усиливает латеральный конфайнмент электронов в наносистемах. Кроме того, оно может приводить к зависимости кондуктанса не только от величины, но и от направления магнитного поля [21]. Отметим, что магнитное поле может изменять параметры ступеней квантования кондуктанса.

В ряде работ показано, что в кондуктансе вблизи порогов ступеней квантования могут быть как пики, так и провалы. То есть примесь в наноструктуре может приводить как к резонансному отражению, так и к резонансному прохождению.

Исследованиям по термоэдс в квантовых проволоках посвящены работы [22, 23]. В литературе исследовались различные модельные потенциалы для описания геометрического конфайнмента в проволоке. Далее в статье используется симметричный гармонический потенциал

$$U(x, y) = m^* \omega_0^2 (x^2 + y^2) / 2,$$

где  $m^*$  — эффективная масса, а  $\omega_0$  — характерная частота потенциала конфайнмента, которая связана с эффективным радиусом  $l_0$  проволоки соотношением  $l_0 = \sqrt{\hbar / m^* \omega_0}$ .

Гамильтониан проволоки, описывающий невозмущенные примесями одноэлектронные состояния, имеет вид

$$H_0 = \frac{1}{2m^*} \left( \mathbf{p} - \frac{e}{c} \mathbf{A} \right)^2 + \frac{m^* \omega_0^2}{2} (x^2 + y^2). \quad (1)$$

Целью настоящей работы является исследование квазибаллистического транспортного режима в квантовой проволоке с симметричным сечением. Исследуется проявление рассеяния на примесях в таких транспортных характеристиках как магнитокон-

\*E-mail: theorphysics@mrsu.ru

дактанс и магнитотермоэдс. Ниже изучен только случай продольного по отношению к проволоке магнитного поля  $\mathbf{V}$ . Это связано с тем обстоятельством, что именно в этом случае в модели потенциала нулевого радиуса удается получить точное аналитическое выражение для магнитокондактанса проволоки.

Векторный потенциал поля  $\mathbf{V}$  выберем в симметричной калибровке

$$\mathbf{A} = \left( -\frac{yB}{2}, \frac{xB}{2}, 0 \right).$$

Спектр гамильтониана (1) хорошо известен,

$$E_{mnp} = \frac{\hbar\omega_c}{2}m + \frac{\hbar\Omega}{2}(2n + |m| + 1) + \frac{p^2}{2m^*}, \quad (2)$$

где  $\omega_c$  — циклотронная частота,  $\Omega = \sqrt{\omega_c^2 + 4\omega_0^2}$ ,  $n = 0, 1, \dots, m \in \mathbf{Z}$ .

Решение уравнения Шредингера с гамильтонианом (1) удобно записать в цилиндрических координатах:

$$\psi_{mnp}^0 = \exp \frac{ipz}{\hbar} \frac{\exp(im\varphi)}{\sqrt{2\pi}} R_{mn}(\rho), \quad (3)$$

где

$$R_{mn}(\rho) = c_{mn} \rho^{|m|} \exp \left( -\frac{\rho^2}{4l^2} \right) L_n^{|m|} \left( \frac{\rho^2}{2l^2} \right). \quad (4)$$

Здесь  $L_n^{|m|}$  — обобщенные полиномы Лагерра,  $l = \sqrt{\hbar/m^*\Omega}$ ,

$$c_{mn} = \frac{1}{l^{|m|+1}} \sqrt{\frac{n!}{2^{|m|}(n+|m|)!}}. \quad (5)$$

Как видно из формул (3) и (4), электронная плотность максимальна на оси проволоки и экспоненциально убывает при удалении от оси. В связи с этим только примеси, находящиеся вблизи оси проволоки, будут эффективно рассеивать электронные моды, проходящие через проволоку. Из сравнения величин  $l$  и  $l_0$  видно, что магнитное поле сжимает волновые функции в плоскости, перпендикулярной магнитному полю. Далее исследуется актуальный случай, когда примесь расположена на оси проволоки и эффекты, связанные с рассеянием, проявляются максимально. Ниже мы рассмотрим короткодействующие примеси, которые хорошо моделируются точечными потенциалами.

## 2. КВАЗИБАЛЛИСТИЧЕСКИЙ ТРАНСПОРТ ПРИ РАССЕЯНИИ НА ПРИМЕСИ

Квазибаллистический магнитокондактанс в продольном магнитном поле исследован в работе [12]. Зависящая от примесного рассеяния часть кондактанса имеет вид

$$\frac{G^i}{G_0} = \gamma^2 \{ -2(\text{Im } \zeta)^2 + (N+1)[\psi(N+\delta) - \psi(\delta) + (N+\delta)^{-1}] \} \{ (1 + \gamma \text{Re } \zeta)^2 + (\gamma \text{Im } \zeta)^2 \}^{-1}, \quad (6)$$

где  $\gamma = a/\sqrt{2}l$ ,  $G_0$  — квант кондактанса,  $a$  — длина рассеяния, которая может быть как больше, так и меньше нуля [24],  $\psi(x)$  — логарифмическая производная гамма-функции Эйлера,

$$\zeta = \zeta \left( \frac{1}{2}, \frac{1}{2} - \frac{\mu}{\hbar\Omega} \right)$$

— обобщенная дзета-функция Римана,  $N$  — целое число, а  $0 < \delta < 1$ . В (6) введено обозначение

$$\mu = \hbar\Omega(N + \delta + 1/2),$$

где  $\mu$  — химический потенциал. При выводе формулы (6) в работе [12] показано, что рассеиваться могут только  $s$ -волны, для которых магнитное квантовое число  $m = 0$ .

Отметим обстоятельство, важное для дальнейшего. Величина  $\gamma$  при реальных  $a$  и  $l$  мала,  $\gamma \sim 0.1$ . В связи с этим часть кондактанса, обусловленная рассеянием и пропорциональная  $\gamma^2$ , тоже мала.

Однако имеются области значений  $\mu$ , где величина  $G^i$  не мала.

Из формулы Эрмита и формулы сдвига для дзета-функции [25] вытекает оценка

$$\text{Re } \zeta \left( \frac{1}{2}, \frac{1}{2} - \frac{\mu}{\hbar\Omega} \right) = \zeta \left( \frac{1}{2}, 1 - \delta \right) \approx \approx \frac{1}{\sqrt{1-\delta}} + \frac{1}{2\sqrt{2-\delta}} - 2\sqrt{2-\delta} + \frac{1}{24\sqrt{(2-\delta)^3}}. \quad (7)$$

Для мнимой части  $\zeta$ -функции из формулы сдвига получим

$$\text{Im } \zeta \left( \frac{1}{2}, \frac{1}{2} - \frac{\mu}{\hbar\Omega} \right) = - \sum_{n=0}^N (n + \delta)^{-1/2}. \quad (8)$$

Как следует из (7) и (8), при  $\delta \rightarrow 0$  величина  $\text{Re } \zeta(1/2, 1 - \delta)$  конечна, а

$$\text{Im } \zeta \left( \frac{1}{2}, \frac{1}{2} - \frac{\mu}{\hbar\Omega} \right) \rightarrow \infty.$$

Таким образом, из формул (6)–(8) следует, что

$$\lim_{\delta \rightarrow 0} G^i/G_0 = N - 1.$$

При  $\gamma > 0$  ( $a > 0$ ) зависимость  $G^i(\mu)$  представляет собой очень острый пик. В связи с этим, а также с тем, что ступени квантования проявляются при очень низких температурах, тепловую размазку пика можно не учитывать. Сделаем соответствующие оценки. Для пика при  $\delta \ll 1$  в малой его окрестности из формул (6)–(8) имеем

$$\frac{G^i}{G_0} \approx \frac{N - 1}{1 + \gamma^{-2}\delta}.$$

Используя обычный подход к оценке тепловой размазки распределения Ферми, получим

$$\frac{G^i(\mu, T)}{G^i(\mu, 0)} \approx 1 + \frac{\pi^2}{3} \left( \frac{k_B T}{\hbar\Omega} \right)^2 \frac{1 + \delta_0 \gamma^{-2}}{(\delta_0 + \gamma^2)^2}, \quad (9)$$

где

$$\mu = \hbar\Omega(N + \delta_0 + 1/2).$$

Как следует из численных оценок, при  $T \approx 1$  К,  $\gamma \sim 0.1$ ,  $\delta_0 \sim 0.01$  поправка имеет порядок  $10^{-2}$ . Для  $1 - \delta \ll 1$  из формулы (6) имеем

$$\frac{G^i}{G_0} \approx \frac{A(N)(1 - \delta)}{(1 + \gamma^{-1}\sqrt{1 - \delta})^2}.$$

При  $\gamma > 0$  в других точках примесная часть кондактанса мала. При  $\gamma < 0$  имеется еще одна точка, где величина  $G^i$  не мала. Эта точка соответствует условию  $1 + \gamma \text{Re } \zeta = 0$ . При выполнении этого условия в числителе и знаменателе выражения (6) сокращается малый множитель  $\gamma^2$ . Условие для точки резонанса будет выполняться для малых  $\gamma$  и при значениях  $\delta$ , близких к 1.

Поступая аналогично предыдущему случаю, находим

$$\frac{G^i(\mu, T)}{G^i(\mu, 0)} \approx 1 - \frac{\pi^2}{4} \left( \frac{k_B T}{\hbar\Omega} \right)^2 \times \frac{\gamma^{-1}}{(1 + \gamma^{-1}\sqrt{1 - \delta_0})^2 (1 - \delta_0)^{3/2}},$$

где величина  $\delta_0$ , оцененная из формулы  $1 + \gamma \text{Re } \zeta = 0$ , равна 0.01. Численное значение

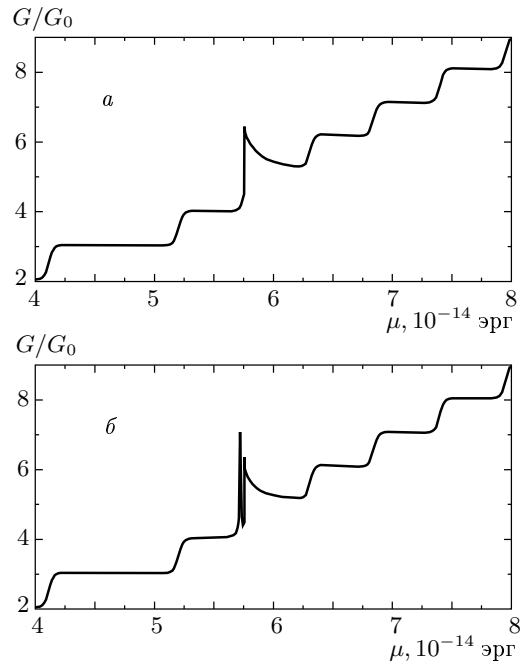


Рис. 1. Зависимости кондактанса от химического потенциала при положительной (а) и отрицательной (б) длинах рассеяния;  $\Omega = 1.8 \cdot 10^{13}$  с $^{-1}$ ,  $B = 2$  Тл,  $\gamma = 0.1$ ,  $T = 1.5$  К

поправки имеет порядок 0.01. Как видно на рис. 1б, в этом случае два пика кондактанса расположены очень близко друг к другу. Однако оценки показывают, что расстояние между ними  $\Delta\mu \approx 7k_B T$  при  $T \approx 1$  К. Следовательно, расстояние между пиками много больше  $k_B T$  и тепловая размазка пиков мала.

Для значений  $N > 1$  слева от порога ступеней при  $\gamma < 0$  возникает узкий антирезонанс (провал в кривой), так как

$$2(\text{Im } \zeta)^2 > (N + 1) \left[ \psi(N + \delta) + \psi(\delta) + \frac{1}{N + 1} \right],$$

и провал переходит в отрицательную область.

Баллистическая составляющая кондактанса  $G^b$  может быть получена из результатов работы [21]. Ее удобно для дальнейшего рассмотрения записать в виде  $G^b = G^{mon} + G^{osc}$ . Здесь монотонная часть кондактанса запишется в виде

$$\frac{G^{mon}}{G_0} = \frac{1}{2\hbar^2\omega_0^2} \left[ \mu^2 + \frac{\pi^2 k_B^2 T^2}{3} - \frac{1}{12} \hbar^2 (\omega_c^2 + \omega_0^2) \right]. \quad (10)$$

Осциллирующая часть кондактанса равна

$$\frac{G^{osc}}{G_0} = 2\pi k_B T \sum_{n=1}^{\infty} (-1)^{n+1} \left[ \frac{1}{\hbar(\Omega + \omega_c)} \frac{\cos[2\pi n\mu/\hbar(\Omega + \omega_c)]}{\text{sh}[2\pi^2 n k_B T/\hbar(\Omega + \omega_c)] \sin[\pi n(\Omega - \omega_c)/(\Omega + \omega_c)]} + \frac{1}{\hbar(\Omega - \omega_c)} \frac{\cos[2\pi n\mu/\hbar(\Omega - \omega_c)]}{\text{sh}[2\pi^2 n k_B T/\hbar(\Omega - \omega_c)] \sin[\pi n(\Omega + \omega_c)/(\Omega - \omega_c)]} \right]. \quad (11)$$

Отношение  $G^{osc}/G^{mon}$  имеет порядок

$$\frac{G^{osc}}{G^{mon}} \sim \frac{\pi \hbar(\Omega - \omega_c) k_B T}{\mu}. \quad (12)$$

Из соотношения (12) следует важное для дальнейшего замечание, что при  $\Omega < \mu$  и для очень низких температур, меньших или равных 1 К,  $G^{osc}/G^{mon} \ll 1$ . Графики зависимости квазибаллистического магнитокондуктанса показаны на рис. 1. На этом рисунке видны ступени кондуктанса, соответствующие проходящим электронным модам при  $m \neq 0$ , и пики на порогах ступеней при  $m = 0$ , связанные с рассеянием. Для  $\gamma > 0$  и  $m = 0$  на порогах ступеней и справа от порогов виден один пик, а для  $\gamma < 0$  — два пика (и на пороге, и слева от ступеней) и узкий провал между ними. Графики соответствуют аналитическим выводам, сделанным выше. Как видно на рис. 1а, плато ступеней могут иметь разную длину. Этот результат объяснен в работе [26].

Теперь рассмотрим термоэдс квантовой проволоки. Как известно, термоэдс  $S$  выражается через кондуктанс по формуле [22]

$$S = \frac{\pi^2 k_B^2 T}{3e} \frac{G'(\mu)}{G(\mu)}. \quad (13)$$

Учитывая, что  $G^{mon} \gg G^{osc}$  и в области пиков кондуктанса  $G^i \gg G^{osc}$ , для  $S$  найдем

$$S \approx \frac{\pi^2 k_B^2 T}{3e} \times \left[ \frac{(G^i)'}{G^i + G^{mon}} + \frac{(G^{mon})'}{G^i + G^{mon}} + \frac{(G^{osc})'}{G^i + G^{mon}} \right]. \quad (14)$$

Используя соотношение (6), получим

$$\frac{(G^i)'}{G_0} = -2\gamma \frac{\gamma \text{Im} \zeta (\text{Im} \zeta)' + (1 + \gamma \text{Re} \zeta) (\text{Re} \zeta)' G^i}{(1 + \gamma \text{Re} \zeta)^2 + (\gamma \text{Im} \zeta)^2} \frac{G^i}{G_0} + \frac{\gamma^2}{(1 + \gamma \text{Re} \zeta)^2 + (\gamma \text{Im} \zeta)^2} \left\{ 4 \text{Im} \zeta (\text{Im} \zeta)' + \left[ (N + 1) \left[ \psi(N + \delta) - \psi(\delta) + \frac{1}{N + \delta} \right] \right] \right\}. \quad (15)$$

При дифференцировании в формуле (15) учтем, что  $G^i$  и  $(G^i)'$  отличны от нуля только в малой

окрестности справа от порогов ступеней ( $\gamma > 0$ ) или только слева и справа от порогов ( $\gamma < 0$ ). Следовательно, в этих окрестностях порогов  $N = \text{const}$ , и дифференцирование по  $\mu$  можно заменить на дифференцирование по  $\delta$ . Применяя формулу [25]

$$2\pi\zeta(s, v) = -\Gamma(1 - s) \int_{-\infty}^{(0+)} (-t)^{s-1} \frac{e^{-vt}}{1 - e^{-t}} dt, \quad (16)$$

можно получить соотношения

$$\begin{aligned} (\text{Re} \zeta)' &= \zeta' \left( \frac{1}{2}, 1 - \delta \right) = \frac{1}{2} \zeta' \left( \frac{3}{2}, 1 - \delta \right), \\ (\text{Im} \zeta)' &= -\frac{1}{2} \text{Im} \zeta' \left( \frac{3}{2}, -N - \delta \right) \end{aligned} \quad (17)$$

при  $N = \text{const}$ .

Производные по  $\delta$  от  $\psi$ -функций равны

$$\psi'(N + \delta) - \psi'(\delta) = -\sum_{k=0}^{N-1} \frac{1}{(k + \delta)^2}, \quad (18)$$

следовательно, слагаемое, входящее во второй член правой части (15), имеет вид

$$\begin{aligned} (N + 1) \left[ \psi(N + \delta) - \psi(\delta) + \frac{1}{N + \delta} \right]' &= \\ = -\sum_{k=0}^N \frac{1}{(k + \delta)^2}. \end{aligned} \quad (19)$$

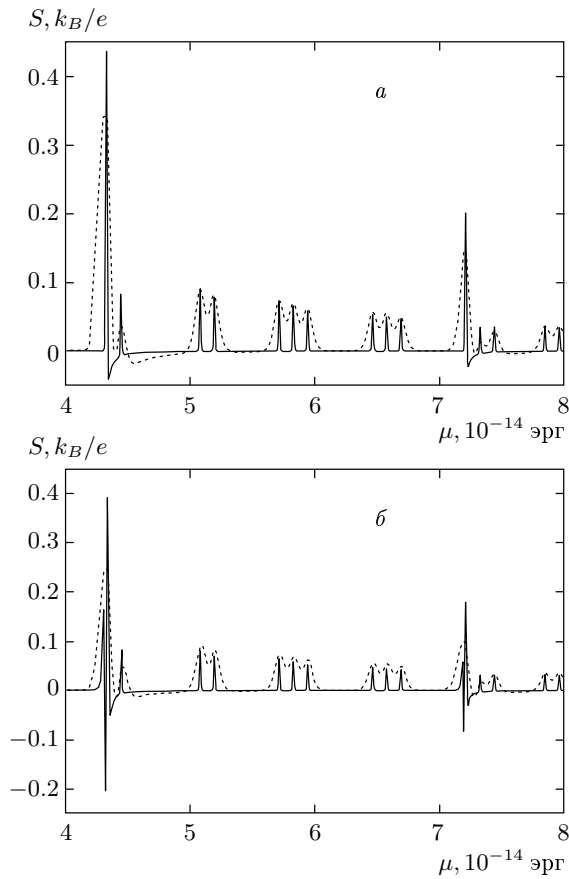
Используя формулы для производных, полученные выше, найдем

$$(G^i)' = (G_1^i)' + (G_2^i)',$$

где

$$\begin{aligned} \frac{(G_1^i)'}{G_0} &= \gamma \frac{G^i}{G_0} \times \\ &\times \left\{ \frac{\gamma \text{Im} \zeta(1/2, -N - \delta) \text{Im} \zeta(3/2, -N - \delta)}{[1 + \gamma \text{Re} \zeta(1/2, 1 - \delta)]^2 + [\gamma \text{Im} \zeta(1/2, 1 - \delta)]^2} - \right. \\ &\left. - \frac{[1 + \gamma \zeta(1/2, 1 - \delta)] \zeta(3/2, 1 - \delta)}{[1 + \gamma \text{Re} \zeta(1/2, 1 - \delta)]^2 + [\gamma \text{Im} \zeta(1/2, 1 - \delta)]^2} \right\}, \end{aligned} \quad (20)$$

$$\frac{(G_2^i)'}{G_0} = -\gamma^2 \frac{2 \text{Im} \zeta(1/2, -N - \delta) \text{Im} \zeta(3/2, -N - \delta) - (N + 1) \sum_{k=0}^N (k + \delta)^{-2}}{[1 + \gamma \text{Re} \zeta(1/2, 1 - \delta)]^2 + [\gamma \text{Im} \zeta(1/2, -N - \delta)]^2}. \quad (21)$$



**Рис. 2.** Зависимости термоэдс от химического потенциала при положительной (а) и отрицательной (б) длинах рассеяния;  $\Omega = 1.2 \cdot 10^{13} \text{ с}^{-1}$ ,  $B = 5 \text{ Тл}$ ,  $\gamma = 0.1$ ,  $T = 0.2 \text{ К}$  (сплошная линия),  $1.5 \text{ К}$  (пунктирная)

Здесь [25]

$$\zeta(3/2, 1 - \delta) = \sum_{n=1}^{\infty} (n - \delta)^{-3/2},$$

$$\zeta(3/2, -N - \delta) = \sum_{n=0}^{\infty} (N + \delta - n)^{-3/2}.$$

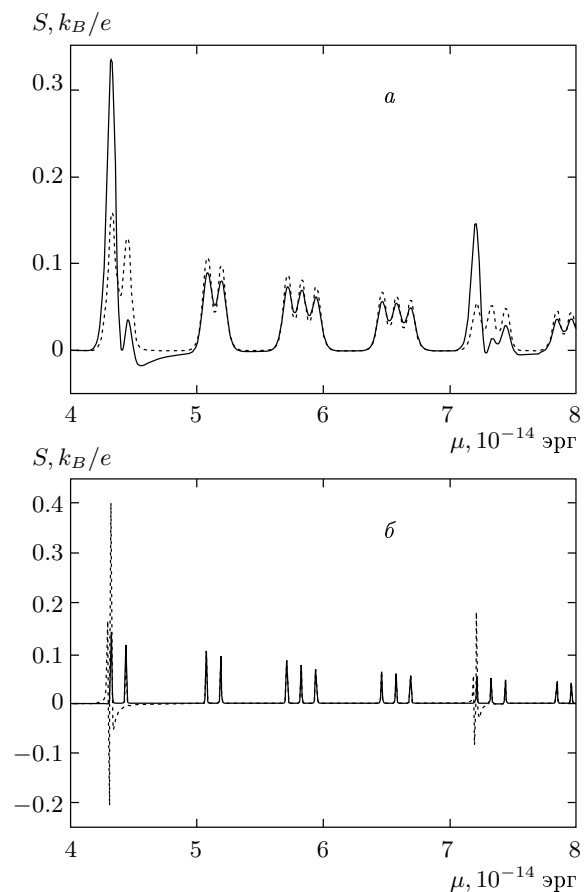
Подставляя (20), (21), (10) и (11) в (13), получим выражение (его мы здесь не приводим из-за громоздкости) для термоэдс. Графики зависимости термоэдс от химического потенциала показаны на рис. 2. Из рисунка видно, что в области пика кондактанса при  $\gamma = 0.1$  термоэдс содержит узкий провал и уходит в отрицательную область. Вне области пиков термоэдс имеет почти синусоидальную форму. Но при  $\gamma = -0.1$  на кривой термоэдс (рис. 2б) видно, что в области тех порогов кондактанса, для

которых существенно рассеяние, имеются два близлежащих пика и два провала. Вне области пиков кривая также имеет почти синусоидальную форму.

### 3. ЗАКЛЮЧЕНИЕ

В работе рассмотрен электронный магнитотранспорт в трехмерных квантовых проволоках в случае продольного магнитного поля. Исследована роль точечного потенциала примеси в зависимостях кондактанса и термоэдс от химического потенциала проволоки.

Показано, что форма кривой кондактанса зависит от знака длины рассеяния  $a$ . В случае положительных значений  $a$  на кривой  $G(\mu)$  имеются пики на порогах ступеней квантования кондактанса. В случае  $a < 0$  также имеются эти пики, но слева



**Рис. 3.** Сравнение зависимостей  $S(\mu)$  при баллистическом (пунктирная линия) и квазибаллистическом (сплошная линия) транспортных режимах;  $\Omega = 1.2 \cdot 10^{13} \text{ с}^{-1}$ ,  $B = 5 \text{ Тл}$ ,  $\gamma = 0.1$ ,  $T = 1.5 \text{ К}$  (а),  $0.2 \text{ К}$  (б)

от порогов ступеней вблизи них имеются близлежащие дополнительный пик и провал в кондактансе. На рис. 3 сравниваются зависимости  $S(\mu)$  для баллистического и квазibalлистического транспортных режимов для разных знаков длины рассеяния.

Как отмечалось в литературе [24], знак длины рассеяния при  $\omega_c, \omega_0 \rightarrow 0$  соответствует случаям, когда при  $a > 0$  есть связанное состояние, а при  $a < 0$  нет связанного состояния. Таким образом, при  $a > 0$  яма, образованная потенциалом нулевого радиуса, является эффективно более глубокой.

Показано, что зависимость термоэдс проволоки от химического потенциала имеет почти синусоидальную форму вне области пиков магнито-кондактанса. В области пиков магнито-кондактанса термоэдс содержит острый пик и провал при положительной длине рассеяния на точечной примеси и два близлежащих пика и два провала при отрицательной длине рассеяния. Полученные графики зависимостей  $G(\mu)$  и  $S(\mu)$  подтверждают выводы из аналитических результатов работы.

Работа выполнена при финансовой поддержке РФФИ (грант № 05-02-16145).

## ЛИТЕРАТУРА

1. Y. B. Levinson, M. J. Lubin, and E. V. Sukhorukov, Phys. Rev. B **45**, 11936 (1992).
2. И. Б. Левинсон, М. И. Любин, Е. В. Сухоруков, Письма в ЖЭТФ **54**, 405 (1991).
3. М. И. Любин, Письма в ЖЭТФ **57**, 346 (1993).
4. D. H. Gobden, N. K. Patel, M. Pepper et al., Phys. Rev. B **44**, 1938 (1991).
5. A. B. Fowler, G. L. Timp, J. J. Wainer, and R. A. Webb, Phys. Rev. Lett. **57**, 138 (1986).
6. T. E. Kopley, P. L. McEuen, and R. G. Wheller, Phys. Rev. Lett. **61**, 1654 (1988).
7. S. J. Bending and M. R. Beasley, Phys. Rev. Lett. **55**, 324 (1985).
8. Y. Xu, A. Matsuda, and M. R. Beasley, Phys. Rev. B **42**, 1492 (1990).
9. N. W. Dellow, P. H. Beton, C. J. Landerak et al., Phys. Rev. Lett. **68**, 1754 (1992).
10. A. K. Geim, P. C. Main, N. La Scala et al., Phys. Rev. Lett. **72**, 2061 (1994).
11. A. K. Geim, T. J. Foster, A. Nogaret et al., Phys. Rev. B **50**, 8074 (1994).
12. В. А. Гейлер, В. А. Маргулис, ЖЭТФ **111**, 2215 (1997).
13. В. А. Гейлер, В. А. Маргулис, Л. И. Филина, ЖЭТФ **113**, 1376 (1998).
14. V. Vargiamidis and H. M. Polatoglu, Phys. Rev. B **67**, 245303 (2003).
15. C. S. Kim and A. M. Satanin, Physica E **4**, 211 (1999).
16. Ч. С. Ким, А. М. Сатанин, О. Н. Рознова, В. Б. Штенберг, ЖЭТФ **121**, 1157 (2002).
17. D. Boese, M. Lischka, and L. E. Reichl, Phys. Rev. B **61**, 5632 (2000).
18. S. A. Gurvitz and Y. B. Levinson, Phys. Rev. B **47**, 10578 (1993).
19. P. F. Bagwell, Phys. Rev. B **41**, 10354 (1990).
20. Е. С. Авотина, Ю. А. Колесниченко, ФНТ **30**, 209 (2004).
21. V. A. Geyler and V. A. Margulis, Phys. Rev. B **61**, 1716 (2000).
22. C. R. Proetto, Phys. Rev. B **44**, 9096 (1991).
23. I. A. Kokurin, V. A. Margulis, and A. V. Shorokhov, J. Phys.: Condens. Matter **16**, 8015 (2004).
24. Ю. Н. Демков, В. Н. Островский, *Метод потенциалов нулевого радиуса в атомной физике*, Изд-во ЛГУ, Ленинград (1975).
25. Г. Бейтман, А. Эрдейи, *Высшие трансцендентные функции*, т. 1, Наука, Москва (1973).
26. В. А. Гейлер, В. А. Маргулис, ФТП **33**, 1141 (1999).